

アーチの極限解析

横尾義貫・山肩邦男

LIMIT ANALYSIS OF ARCHES

by Dr. Eng. Yoshitsura YOKOO and Kunio YAMAGATA

Synopsis: This paper treats some discussions on the collapse modes and the final bearing capacities of arches and also shows a practical method of the limit analysis of arches. It is shown that the collapse mode of an arch takes several type from one to another with the varying rise, and also explained that the mode and the final capacity of a flat arch transfer continuously to those of a straight beam when the rise of the arch is flattened to zero. The effects of the excentricity of loading, the ratio of section depth to span and the end conditions are discussed.

序

本研究は、アーチが終局荷重のもとに collapse を起す極限状態における応力の釣合、collapse mode の性状、ならびに limit analysis の実用的な解法について考察しようとするものである。従来、アーチの応力に関する塑性学的な研究はほとんど見られず、もっぱら弾性学的な解析にゆだねられていたようである。しかしながら弾性計算には、アーチの rise が低い場合一つの矛盾があつた。すなわち、rise が低くなるにつれて水平反力は急激に増大して無限大に近付き、rise が0の極限において直線梁の水平反力に連続しないということである。この様な現象自体すでに弾性学的な解析の限界をこえるものであつて、塑性学的な解析の必要があると思われる。

一方、完全塑性体の limit analysis に関する研究は、文献^{1),2)}の発表以来、多方面に拡張されて来た。アーチに関しても、すでに Onat および Prager による研究³⁾があり、曲げモーメントと軸方向力による矩形断面の降伏条件式(1)を近似化し、図-2に示す折線(1)および(2)のごとき降伏条件式を用いて、通常の rise をもつた2鉸アーチについての実用計算法を示した。

本研究においては、rise の広範囲にわたる各種アーチの終局時の特性を検討する目的のため、降伏条件式(1)にもつき厳密解を求めることとした。本研究の結果、アーチには rise と梁丈との相対的な関係によつて数種の collapse mode が生じうることを、したがつて先にのべたアーチと直線梁との連続性の問題に関しても、両者が smooth につながりうることを証明された。また更にアーチの種類、荷重の条件などにもなる種々の傾向をも明らかにすることができた。しかしながら上述の厳密解を求めるには、かなりの労力を要する。したがつて実用上の便宜のため、最後に通常の rise をもつた場合におけるアーチの実用解法を示すこととした。

本報告においては紙面の都合上、アーチが集中荷重をうける場合^{4),5)}について得られた結果を概説することとし、解法の過程は省略させて頂く。分布荷重をうける場合の厳密解およびその検討は、目下研究途上にあり後日発表の予定である。また実用計算法⁷⁾については、集中荷重および等分布荷重をうける各場合について算例を示すこととした。

1. アーチの limit analysis の基本概念

アーチの部材断面を矩形とし、完全塑性材料からなるものと仮定する。すなわち弾性的な変形は無視され

るものとする。曲げモーメント M と軸方向力 N をうける矩形断面の降伏状態としては 図-1 のような応力分布が考えられ、その釣合を考慮して部材断面の降伏条件式として次式が導かれる。

$$f(M, N) = \left| \frac{M}{M_0} \right| + \left(\frac{N}{N_0} \right)^2 \leq 1 \quad \dots\dots\dots(1)$$

ただし $N_0 = bh\sigma_0$: 軸方向力のみによる断面の降伏値, $M_0 = hN_0/4$: 曲げモーメントのみによる断面の降伏値, b : 断面の巾, h : 断面の丈とする。上式の内, 等号は断面の降伏を表わし, 不等号は断面の未降伏を示している。ただしここに剪断力の影響は無視されうるものと仮定した。

(1) 式はすでに文献³⁾ に導かれているものであり, 図示すれば 図-2 のごとくである。また同図には, 同文献³⁾ 中で Onat および Prager がアーチの limit analysis に採用した折線型の降伏条件式をも示した。いま中央軸より中立軸までの距離を n とし $n' = n/h$ とすれば, 降伏断面の M および N は次式で表わされる。

$$N = 2n'N_0 \quad \dots\dots\dots(2)$$

$$M = (1/4 - n'^2)hN_0 \quad \dots\dots\dots(3)$$

また降伏断面における材軸の歪速度および回転角速度を $\dot{\epsilon}$ および $\dot{\theta}$ により表わせば, R. Hill の最大仕事の定理^{8), 9)} “ある歪速度に対して真の応力のなす塑性仕事は最大である” より

$$\dot{\theta}dM + \dot{\epsilon}dN = 0 \quad \dots\dots\dots(4)$$

一方, 降伏断面は $f(M, N) = 1$ にて表わされるから

$$\frac{\partial f}{\partial M}dM + \frac{\partial f}{\partial N}dN = 0 \quad \dots\dots\dots(5)$$

したがって (4) 式および (5) 式から次式が導かれる。

$$n = \frac{\dot{\epsilon}}{\dot{\theta}} = \frac{\partial f / \partial N}{\partial f / \partial M} = \frac{hN}{2N_0} \quad \dots\dots\dots(6)$$

すなわち 図-2 において M および N は $f(M, N) = 1$ 上において降伏し, そのときの歪速度の比 n はその点における曲線への法線が M 軸との間になす角の tangent にあたることを意味する。

さて構造物にかかる荷重が proportional に増加し, ついに collapse をおこす場合の安全率に関しては次式の関係がある。

$$m_s \leq S \leq m_k \quad \dots\dots\dots(7)$$

ただし m_s は任意の応力 \bar{M}, \bar{N} が外力系 $m_s \sum P_i$ に対して釣合条件を満足し, かつ降伏条件式 (1) を満足するような任意の係数であり, statically admissible multiplier と名付けられる。また m_k は一自由度をもつ collapse の変形条件式を満足し, かつ $\sum P_i \delta_i^* \geq 0$ および $f(\bar{M}, \bar{N}) = 1$ を満足するような任意の変位速度 $\dot{\delta}^*, \dot{\theta}_i^*, \dot{\epsilon}_i^*$ および \bar{M}_i, \bar{N}_i から次式によつて算定される任意の係数であり, kinematically admissible multiplier と名付けられる。ただしここにアーチの変形は yield hinge における歪のみによつて生じ, アーチ部材の未降伏部分については, 仮定により剛体としてあつかっていることをお断りする。

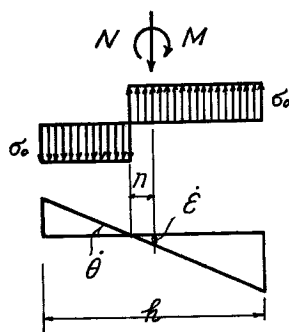


Fig. 1 The distribution of stress, rates of the axial strain and of the angle of flexure in the yield section

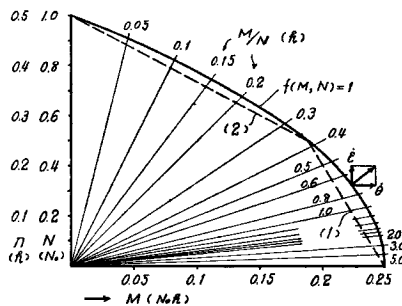


Fig. 2 The yield condition $f(M, N) = 1$ of rectangular section under the critical combination of bending moment M and axial force N

$$m_k = \frac{\sum (\bar{M}_i \dot{\theta}_i^* + \bar{N}_i \dot{\epsilon}_i^*)}{\sum P_m \dot{\delta}_m^*} \dots \dots \dots (8)$$

したがって(7)式は m_k の最大値と m_k の最小値が真の安全率 S に一致することを示し、いいかえれば真の崩壊荷重は statically admissible な条件と kinematically admissible な条件を共に満足させなければならないことを示している。なお(8)式において分子の示す yield hinge の塑性仕事は(1)式および(6)式より次のごとく簡単化される。

$$W_i = (hN_0/2 - \bar{M}_i) \dot{\theta}_i^* \dots \dots \dots (9)$$

以上の原理はすでに研究されているところであり、詳しくは文献^{10)~15)}を参照されたい。

II. 集中荷重をうけるアーチの極限状態における性状

以下I.の諸関係式に基いて、アーチが集中荷重をうけた場合について解析を行い厳密解SPを求めたが、ここには解析の過程を省略し、結果の概要を示すこととする。

1. 中央集中荷重をうけるアーチの collapse mode

A) 両端固定アーチの collapse mode span $2L$ を一定とし開角 2ψ を変化させる場合、梁丈 h と ψ 、し

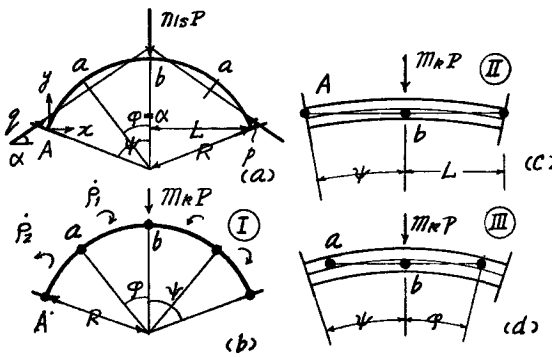


Fig. 3 3 types of collapse mode of built-in arch carrying a concentrated load at the centre of span

たがって h と rise の相対的な関係によって図-3のごとき3つの collapse mode が考えられる。mode I は梁丈 h に比して ψ が大きな場合におこり、一自由度の collapse を起すには両端A、中央bおよびA~bの中間点aの5つの yield hinge が必要である。また mode II は ψ が小で直線梁に近い領域のアーチに生じ、直線梁とのつながりの関係上Aおよびbの3点における yield hinge の発生が考えられる。mode III は mode I および II の中間の ψ において生じ、II における固定端の yield hinge が、bの方へ移動した状態での local collapse をおこす mode である。

計算結果の一例を示すと 図-4のごとく

である。同図より明らかなように ψ の減少ともなつて、mode は I → II → III へと移行してゆく。mode I から III への移行点 $\psi_1 = 25^\circ 23.7'$ においては、yield hinge b および a がアーチ断面内において一直線上に並び、 ψ_1 以下の ψ では mode I はもはや一自由度ではなくなり、collapse mode として成立しえないことが明らかである。mode III の領域では hinge A がなくなり、hinge b および a が一直線上に並びつつ、hinge a が $\psi/2$ の位置より固定端へ向つて移行してゆく。 $\psi_2 = 6^\circ 35.2'$ においては、移行 hinge a は全くA端に到達し同時に hinge A、b が一直線上に並んだ状態で mode II に移る。mode II においては、 ψ が小となるにつれて n_A および n_b は減少してゆき、 $\psi = 0$ において $n_A = n_b = 0$ に達する。また反力 q については、mode I、III においては ψ の減少と共に q は y 軸の正側から負側へ、角 α は急から緩へと移るが、 ψ_2 を境として α は再び増加してゆき $\psi = 0$ において $\alpha = 90^\circ$ となる。すなわち水平反力に関してアーチと直線梁との連続性が証明されたわけである。

B) 2 鉸アーチの collapse mode アーチの limit analysis を行う場合、アーチ自体の耐力以外に支持点における支持耐力について考慮すべきことはいうまでもない。特に水平支持耐力は垂直支持耐力に比して一般に小さく、この水平支持力が降伏し、支点が水平移動をおこす場合には、アーチの SP および collapse mode に大きな影響を与えるであろうことは容易に推測できる。したがってこの影響をもあわせて考

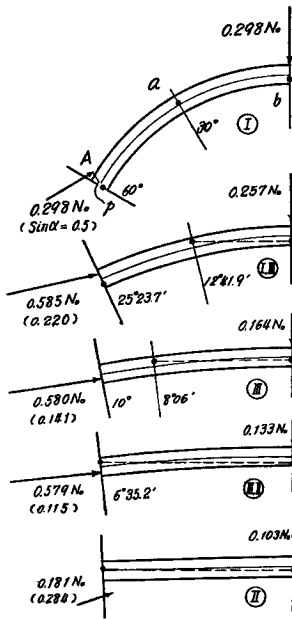


Fig. 4 The process of transference of collapse mode from I to II in built-in arch carrying a concentrated load at the centre of span ($h/L=0.1$)

hinge の位置および反力の変化の過程を示している。mode Iにおいては、yield hinge b が a 同志を結ぶ直線よりも上にあるか下にあるかによつて、 \dot{p}_2 は \dot{p}_1 と逆方向あるいは同方向の回転速度をもつことがわかる。両端固定アーチの場合とは異なり、hinge a および b が一直線上にあるなしかかわらず一自由度の変形のみしか示さず、したがつて A) にのべた mode III のような local collapse は存在しない。しかし $\psi=4^\circ55'$ においては、yield hinge b は両端の hinge A と一直線上に並び、それ以下の ψ では中間点 a における yield hinge の発生は必要でなく mode II に移行してゆく。一方反力については、 ψ の減少と共に α は漸減するが、 $\psi=4^\circ55'$ を境として再び増加し、 $\psi=0$ における $\alpha=90^\circ$ に近づく傾向がうかがわれる。mode III に関しては、 $T_y = \gamma N_0$ における γ の各値に対して異なり、 ψ の減少と共に mode I の途中から mode III に向つたり、mode III はやはり直線梁に連続する様子が後に示す図-10 からうかがわれよう。

3 鉸アーチの場合は図-7 に示す mode だけであり、特に記すべきものはない。

以上からアーチには ψ と h/L との関係によつて数種類の mode が存在し、それらが互に移行しつつ $\psi=0$ において直線梁につながり、弾性計算におけるごとき水平反力の間の矛盾が生じないことがわか

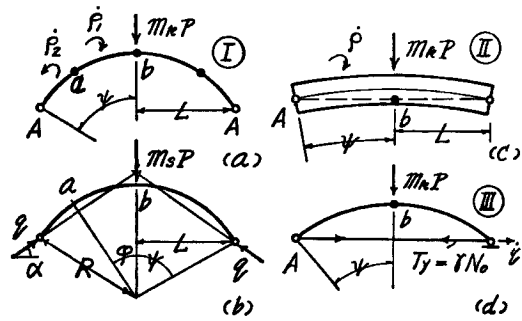


Fig. 5 3 types of collapse mode of 2 hinged arch carrying a concentrated load at the centre of span

察するため、2 鉸アーチの collapse mode として図-5 (d) に示すように、2 鉸アーチを tie-bar をもつた静定アーチにおきかえ、中央 b 点および tie-bar が降伏する型の mode III をも考えることとする。水平支持力の変形の特性を完全塑性的であると仮定し、その降伏を tie-bar の降伏と同等にみなしたのである。なお mode I および II は水平反力が未降伏の場合のアーチ自体の collapse を示す。

図-6 は一例として $h/L=0.1$ の場合の mode I および II における yield

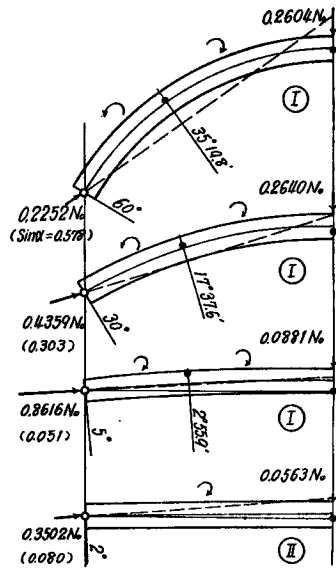


Fig. 6 The process of transference of collapse mode from I to II in 2 hinged arch carrying a concentrated load at the centre of span

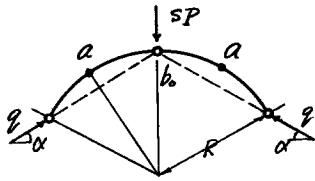


Fig. 7 The collapse mode of 3 hinged arch

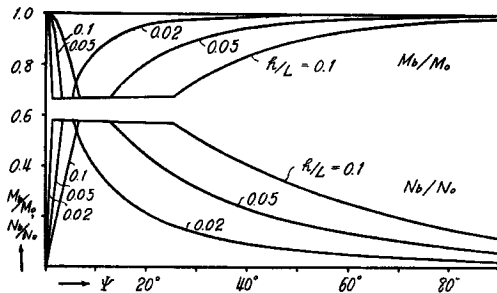


Fig. 9 M_b/M_0 , N_b/N_0 versus ψ diagrams in built-in arch carrying a concentrated load at the centre of span

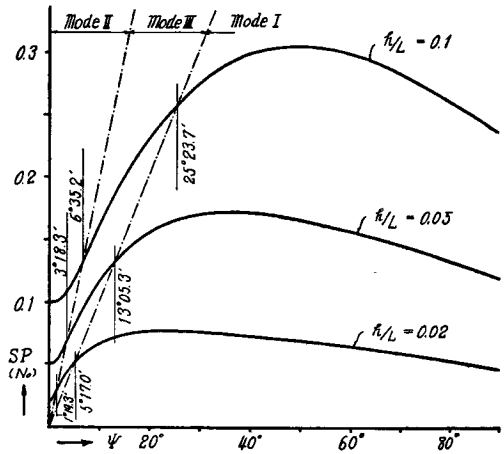


Fig. 8 The final intensity of load, SP versus ψ diagrams in built-in arch carrying a concentrated load at the centre of span

つた。

2. 中央集中荷重をうけるアーチの終局耐力

次に崩壊時におけるアーチの終局荷重 SP について概説する。

まず両端固定アーチについて $h/L=0.1, 0.05$ および 0.02 とした場合の SP は 図-8 のごとくである。 ψ の減少と共に SP は一たび最大値を示した後、減少しはじめ、mode I, II, III の移行点では smooth につながりながら $\psi=0$ において直線固定梁の SP に一致する。 h/L が減ずるにつれて SP の最大点は ψ が小なる方へ移動し、また SP の最大値は $h/L=0.1, 0.05, 0.02$ に対して大略 $1 : 0.58 : 0.25$ の比を示し、SP の低下は h/L の減少の比率よりも高く表われていることがわかる。これは h/L の小なるほど、 M に比して N によるアーチ作用が増大するためと考えられる。各 h/L に対する mode 間の移行点はそれぞれ一直線上に並び、 h/L の減少と共に原点に向う。したがって h/L の小なるほど mode I が支配的となる傾向がみられる。この傾向は 2 鉸アーチの場合についても容易に推測できるところである。

図-9 は 図-8 に対応した yield hinge b における M_b/M_0 , N_b/N_0 と ψ の関係を示す。すなわち M_b/M_0 および N_b/N_0 は mode の移行点において不連続的に折れ曲り、 $\psi=0$ において $M_b/M_0=1$, $N_b/N_0=0$ となる。 h/L の変化に対しては $\psi=0$ の近傍を除き h/L の小なるほど、 M_b/M_0 は増大、 N_b/N_0 は減少する傾向がみられる。mode III においては h/L の如何にかかわらず M_b/M_0 , N_b/N_0 はほぼ一定値をとり、したがって水平反力の最大値は、部材断面積に対して一定の比率以上には増加しないということを表わしている。

次に 2 鉸アーチが中央集中荷重をうける場合の一例として、 $h/L=0.1$ として算定した結果を 図

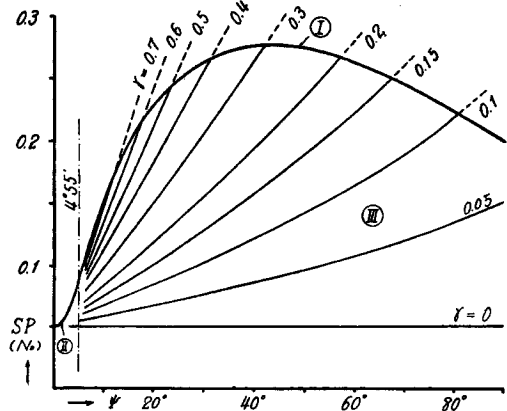


Fig. 10 The final intensity of load, SP versus ψ diagrams in 2 hinged arch carrying a concentrated load at the centre of span ($h/L=0.1$)

-10に示す。水平支持力が降伏しないという条件の下では、SPは ψ が約 40° において最大値を示し、 ψ の減少と共に減じ、modeはⅠからⅡへと移行する。 $\psi=0$ においては $SP=0.05 N_0$ となり、単純支持の直線梁の場合と一致する。modeの移行点 $\psi=4^\circ55'$ においてはSPはsmoothに連続する。modeⅢについては γ の各値に対して同図に示すように、いずれも ψ の減少と共にSPが $0.05 N_0$ に近づく傾向がみられる。また図-12の一部に図-10に対応して、中央 yield hinge b における M_b/M_0 、 N_b/N_0 を示すが、これらは $\psi=4^\circ55'$ において不連続に折れ曲り、 $\psi=0$ において $M_b=M_0$ 、 $N_b=0$ につながっている。

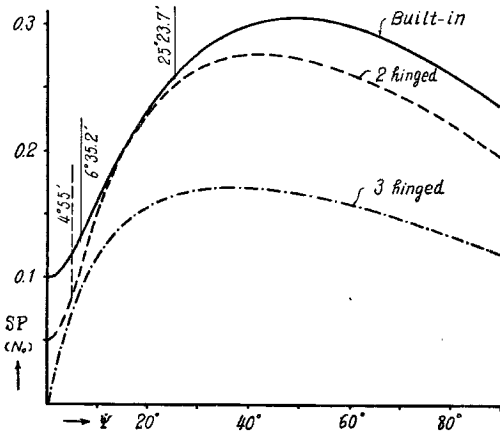


Fig. 11 The comparison among the final intensity of load, SP versus ψ diagrams in built-in, 2 hinged and 3 hinged arches carrying a concentrated load at the centre of span ($h/L=0.1$)

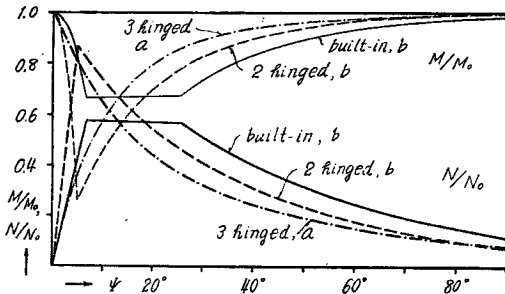


Fig. 12 The comparison among M/M_0 , N/N_0 versus ψ diagrams in built-in, 2 hinged and 3 hinged arches carrying a concentrated load at the centre of span ($h/L=0.1$)

cambered beam の領域については、3 鉸アーチを除いて N/N_0 が急激に減少する。また現実の弾塑性的材料からなるアーチにあつては、直線梁との連続性の問題に弾性変形を考慮することが必要であり、とくに 3 鉸アーチにあつてはほとんど使用できない領域である。

3. 偏心集中荷重をうけるアーチの collapse mode

両端固定アーチが偏心集中荷重をうける場合の一例として、 $\psi=60^\circ$ 、 $h/L=0.1$ の場合の結果を図-13に示す。同図にみられるように yield hinge は 4 つであつて非対称な崩壊変形を示す。偏心量 Δ の増大につ

図-11には両端固定、2 鉸および 3 鉸アーチの SP $\sim\psi$ 曲線の比較を示した。3 鉸アーチの場合は既述せる図-7の mode 1 種のみであり、SP は $\psi=0$ において 0 に連なる。3 種のアーチの最大点は両端固定、2 鉸、3 鉸アーチの順に ψ の小なる方へずれる傾向があり、最大値の比率は大略 1 : 0.91 : 0.57 である。2 鉸アーチの SP 曲線が固定アーチのそれに接する箇所は、2 鉸アーチの mode Ⅰにおいて yield hinge a および b が一直線上に並び、a~A 部材の ρ_2 が 0 なる場合であり、固定アーチの mode Ⅲと同等であることを示している。図-12 はおなじく 3 種のアーチの M/M_0 、 N/N_0 についての比較を示すが、 ψ の小さい範囲を除いて M/M_0 は 3 鉸、2 鉸、固定アーチの順に低下する。両端および中央点の固定条件の相違から考えて当然であろう。

以上より、中央集中荷重の場合には、アーチをその種類の如何にかぎらず、 ψ の値に応じて次の 3 段階に大別できると思われる。

- i. high arch : $\psi=30^\circ\sim90^\circ$
 - ii. flat arch : $\psi=10^\circ\sim30^\circ$
 - iii. cambered beam : $\psi=0^\circ\sim10^\circ$
- } \dots (10)

この 3 段階がもつ大体的特徴は図-8、図-9 および図-11、図-12 から次のごとくいえよう。すなわち、high arch は通常の h/L では、その ψ の領域内に SP の最大値をもち、 M/M_0 が他の 2 段階に比して大である。flat arch においては 2 鉸アーチの SP は固定アーチの SP と比較して大差はなく、また 3 鉸アーチをも含めて N/N_0 が大きい。

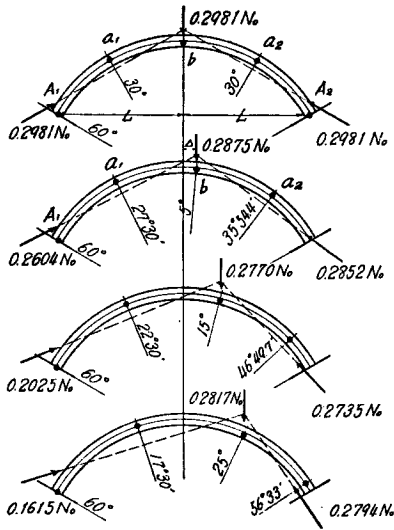


Fig. 13 The collapse of built-in arch carrying a concentrated load at the distance Δ from the centre of span ($\psi=60^\circ$, $h/L=0.1$)

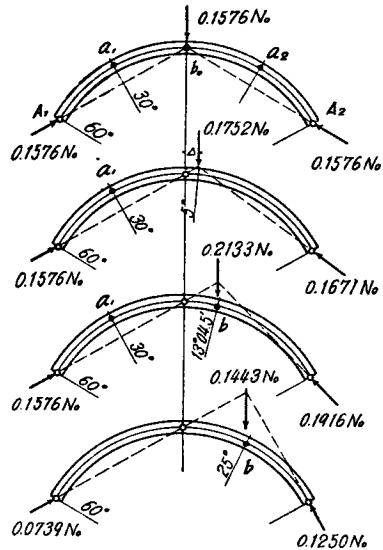


Fig. 14 The collapse of 3 hinged arch carrying a concentrated load at the distance Δ from the centre of span ($\psi=60^\circ$, $h/L=0.1$)

れて a_2 hinge は A_2 に向つて移動してゆく。 Δ が 0 からごく微小量生じて A_2 hinge は消え非対称な変形に移ることに注目されたい。通常真に対称な荷重状態というものはありません、中央集中荷重による実験においても非対称な変形を生じやすいことが推察されよう。

3 鉸アーチの collapse mode の一例として $h/L=0.1$ の場合を 図-14 に示した。同図より明らかなように、 Δ がわずかに生じて $yield$ hinge は a_1 のみに発生し変形は非対称的となる。 $\varphi_0=13^\circ 04.5'$ においては a_1 および b 点に同時に $yield$ hinge を発生し、更に Δ の増加とともに $yield$ hinge は b 点のみとなる。すなわち $yield$ hinge は a_1 から b に飛び移つたような現象を呈する。

4. 偏心集中荷重をうけるアーチの終局耐力

両端固定アーチの場合、SP は 図-13 にみられるように Δ の増大と共に中央集中荷重の場合よりも若干低下するが、 Δ がある程度以上大きくなると再び増加してゆく。 h/L の変化に対しては、 $\Delta=d$ の場合の SP が $\Delta=0$ 、すなわち中央集中荷重の場合の SP に対する比 $(SP)_{\Delta=d}/(SP)_{\Delta=0}$ は h/L の減少と共に多少低下するが、そう大した影響はみられないことが他の計算例から判明している。

図-15 は両端固定、2 鉸および 3 鉸アーチの $(SP)_{\Delta=d}/(SP)_{\Delta=0} \sim d$ 曲線の比較をしめす。3 鉸アーチの場合の曲線は 図-14 にもみられたごとく、 Δ の増大と共に $(SP)_{\Delta=d}/(SP)_{\Delta=0}$ は始めは急激に増加し、 $\varphi_0=13^\circ 04.5'$ を境として減少にうつるといふ傾向を示し、両端固定および 2 鉸アーチの場合と比較して対照的である。3 種のアーチの SP 同志間の比較は別として、この傾向は小さな偏心に対して 3 鉸アーチが優れた安定性をもっていることを示すものといえよう。

以上の考察は $\psi=60^\circ$ の場合にかぎつたが、 ψ の変化に対しては多少変つてくることはもちろんである。しかしながら 2 鉸アーチの場合の検討では、 ψ が減少して $\psi=4^\circ 55'$ 以下になつてはじめて $(SP)_{\Delta=d}/(SP)_{\Delta=0} \sim d$ 曲線が Δ の増加と共に当初から漸増してゆく程度であり、high arch および flat arch の ψ の領域では、先にのべた 3 種のアーチ間の傾向を示すものとみてよいであろう。

Ⅲ. アーチの終局荷重の実用計算法

以上Ⅱ.でのべた諸結果は(1)式の降伏条件式に基いて解析を行い、 $m_s=S=m_k$ なる厳密解を求めて得たものである。その解析の過程は省略したが、計算はかなり面倒である。また等分布荷重の場合については(1)式により同様な厳密解を求めることは困難である。したがってここに多少の精度を落とし、実用上の便宜のため終局荷重に関する実用計算法を示すことにする。

A) 実用計算法の基本的方針

アーチに発生する yield hinge の位置を求めるには、応力が不静定反力と釣合を保ち、かつ降伏条件式(1)を満足させねばならないため、その決定は一般にかなり面倒である。一方通常の rise をもつアーチの yield hinge においては、 N/N_0 に比して M/M_0 による影響が甚大であるという傾向が示された(図-9 および 図-11 参照)。したがって実用計算法としてはこの傾向に着目し、yield hinge の位置および不静定反力の推定には N を無視するという方針をとつた。以下その方針の概要についてのべる。ただし通常用いられる程度の高い rise をもつたアーチ (high arch の程度) に限るものとする。

i. yield hinge の位置および支点反力を定める場合、 N を無視し collapse をおこすに必要な数点において、 M が最大かつ相等しくなるように反力の方向および yield hinge の位置を選ぶ。その方法は算例を参照されたい。

ii. i. に定めた反力によつて上記の数点における M, N および M/N を求める。ここに M/N は常数として表わされる。かくして反力を 0 から次第に増加させてゆくと、 $M/N=$ 一定の条件の下にまずいずれかの箇所にはじめて yield hinge を生ずる状態に達する。このときの反力の値から m_s を求める。この算定には図-2 を利用する。

iii. m_k を求める式(8)において、 \bar{M}_i, \bar{N}_i は m_i に関して(2)式および(3)式を満し、 $f(\bar{M}_i, \bar{N}_i)=1$ を満足する限り自由に選ぶが、ここでは ii. における数点が、それぞれの M/N の比のもとに降伏したと考えたときの \bar{M}, \bar{N} および n を用いる。 $\theta_i^*, \dot{\theta}_i^*$ および δ_m^* は変形条件を満すように定めねばならないが、直角速度図法を利用するのが便利である。 m_k 式において分子の第2項の $\bar{N}_i \dot{\theta}_i^*$ は第1項に比して一般に小であり、無視してもよい程度である。

iv. ii. および iii. より求めた m_s および m_k より平均値を求め S の近似値とする。

以上の操作を1回行えば、後述する算例にみられるごとく、実用上差支えない程度の上下限の範囲内で、崩壊荷重を求めることができる。しかしながら、更に上下限の範囲を縮少するためには、yield hinge の位置および反力の方向を選定し直さねばならず、かなり面倒となつてくることを附記する。以下に計算例を示す。

B) 偏心集中荷重をうける2鉸アーチ

一例として $\psi=60^\circ, h/L=0.1, \Delta/L=0.3$ の場合を示す。まず h の長さを単位としてアーチを大きく描く。図-16において b を中心とする小円、アーチの中心 O を中心とする円弧および A_1 を通る直線 A_1d の三者が互に接するように描く。(実際の作図では大して手間はかからない。)このとき A_1d を反力 q_1 の方向とすれば、 a および b 点における M は相等しくかつ最大で、この位置に yield hinge ができるものとする。 a

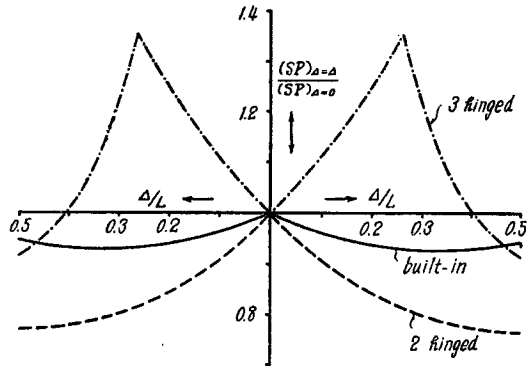


Fig. 15 The comparison among $(SP)_{\Delta=\Delta}/(SP)_{\Delta=0}$ versus Δ/L diagrams in built-in, 2 hinged and 3 hinged arches ($\psi=60^\circ, h/L=0.1$)

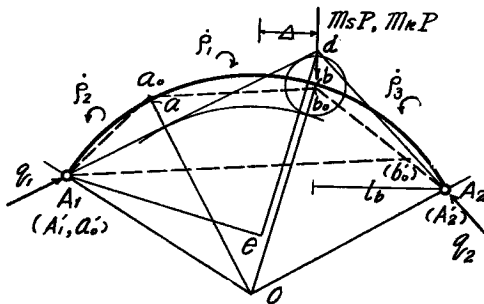


Fig. 16

およびb点の応力はaおよびbからA1dに到る距離を測り、次のごとくなる。

$$\begin{aligned} \text{a点: } M &= 1.65q_1h, N = q_1 \\ &\therefore M/N = 1.65h \dots\dots\dots(11) \end{aligned}$$

$$\begin{aligned} \text{b点: } M &= 1.65q_1h, N = \overline{A_1e}q_1/\overline{A_1d} \\ &= 0.718q_1 \therefore M/N = 2.30h \} \dots\dots\dots(12) \end{aligned}$$

q1を0から漸増し、したがってa, b各点がそれぞれM/Nの一定の比で増加するとき、aおよびbが降伏をおこすM, Nおよびnの値は、図-2

においてM/N直線と降伏曲線との交点から

$$\text{a点: } M_a = 0.245N_0h, N_a = 0.148N_0, n_a = 0.074h \dots\dots\dots(13)$$

$$\text{b点: } M_b = 0.248N_0h, N_b = 0.108N_0, n_b = 0.054h \dots\dots\dots(14)$$

したがって

$$\text{a点の降伏時 } q_1 = N_a = 0.148N_0 \dots\dots\dots(15)$$

$$\text{b点の降伏時 } q_1 = 0.108N_0/0.718 = 0.151N_0 \dots\dots\dots(16)$$

ゆえにまずa点にyield hingeが発生する。したがって(15)式の値をとればa点以外の領域は未降伏であり、この釣合はstatically admissibleであることがわかる。ついでq2およびmsPはq1との力の三角形の長さの比より求めると

$$q_2 = 0.186N_0, m_sP = 0.207N_0 \dots\dots\dots(17)$$

mkを求めるにあたっては直角変位図法を用いる。aおよびb点のM, Nおよびn値は(13)式および(14)式を採用する。a, b点においてna, nbを方向を考えて求めa0, b0とする。(ただし図-16には多少nを大きく表わした。) yield hinge間の各部材の回転角速度は

$$\left. \begin{aligned} \dot{\rho}_1 &= (1 - \overline{a_0'b_0'} / \overline{a_0b_0}) \dot{\rho}_2 = -1.01\dot{\rho}_2 \\ \dot{\rho}_3 &= (1 - \overline{b_0'A_2'} / \overline{b_0A_2}) \dot{\rho}_2 = 0.64\dot{\rho}_2 \end{aligned} \right\} \dots\dots\dots(18)$$

$$\dot{\delta} = l_0 \dot{\rho}_3 = 4.48h\dot{\rho}_2 \dots\dots\dots(19)$$

したがってyield hinge aおよびbの回転角速度は

$$\dot{\theta}_a = 2.01\dot{\rho}_2, \dot{\theta}_b = 1.64\dot{\rho}_2 \dots\dots\dots(20)$$

ゆえに(13), (14), (19)および(20)式を用いて、(8)式または

$$m_kP = \sum (0.5N_0h - M_i) \dot{\theta}_i / \dot{\delta}_i \dots\dots\dots(21)$$

を計算すると次の値を得る。

$$m_kP = 0.209N_0 \dots\dots\dots(22)$$

$$\therefore 0.207N_0 < SP < 0.209N_0 \dots\dots\dots(23)$$

またmkを求める場合a0, b0の代りにa, bの材軸にyield hingeがあるとしてrho_iを求め、mk式(8)においてsum N_i delta_i*をsum M_i theta_i*に比して省略すると、SPの上下限は次式のようになる。

$$0.207N_0 < SP < 0.211N_0 \dots\dots\dots(24)$$

(24)式においてSP=0.209N0とすればerrorは±1%以内であり、近似度は非常によい。

C). 偏心集中荷重をうける固定アーチ

一例として $\psi=60^\circ$, $h/L=0.1$, $d/L=0.1$ の場合を示す。図-17において、 A_1b に平行かつアーチに接する接線を描き、 A_1b および接線の間隔を二等分するように平行線 fd を求める。これは q_1 の方向を示す。 b を中心とする小円、 O を中心とする円弧および d を通る直線が互に相接するごとく作図すると q_2 の方向を得る。 q_1 , q_2 および m_sP の間には釣合の三角形 $dfdg$ の関係がある。 A_1 , a_1 , b および a_2 の各点の M および N は

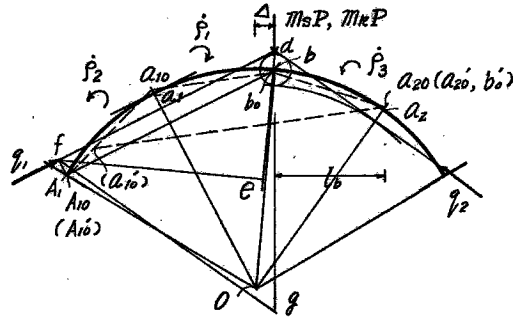


Fig. 17

a_1 点 $M=0.890q_1h$, $N=q_1$
 $\therefore M/N=0.890h$ (25)

A_1, b 点 $M=0.890q_1h$, $N=0.844q_1$
 $\therefore M/N=1.055h$ (26)

a_2 点 $M=0.810q_2h$, $N=q_2$ $\therefore M/N=0.810h$ (27)

ゆえに 図-2 の M/N と降伏曲線との交点より

a_1 点 $M_{a1}=0.233N_0h$, $N_{a1}=0.262N_0$, $n_{a1}=0.131h$ (28)

A_1, b 点 $M_{A1}=M_b=0.237N_0h$, $N_{A1}=N_b=0.225N_0$, $n_{A1}=n_b=0.113h$ (29)

a_2 点 $M_{a2}=0.230N_0h$, $N_{a2}=0.284N_0$, $n_{a2}=0.142h$ (30)

各点が降伏するに要する反力で最小のものは

$q_2=N_{a2}=0.284N_0$ (31)

$\therefore q_1=0.284N_0 \times \overline{fd}/\overline{fg}=0.261N_0$ (32)

$m_sP=0.284N_0 \times \overline{dg}/\overline{fg}=0.286N_0$ (33)

各部分材の回転角速度については

$\dot{\rho}_1=(1-\overline{a'_{10}b'_{10}}/\overline{a_{10}b_{10}})\dot{\rho}_3=-1.406\dot{\rho}_3$
 $\dot{\rho}_2=(1-\overline{a'_{10}A'_{10}}/\overline{a_{10}A_{10}})\dot{\rho}_3=0.698\dot{\rho}_3$ }(34)

$\dot{\delta}=l_b\dot{\rho}_3=5.75h\dot{\rho}_3$ (35)

$\therefore \dot{\theta}_{A1}=1.406\dot{\rho}_3$, $\dot{\theta}_{a1}=2.104\dot{\rho}_3$
 $\dot{\theta}_b=2.406\dot{\rho}_3$, $\dot{\theta}_{a2}=\dot{\rho}_3$ }(36)

(8)式または (21) 式を用いて計算すると、

$m_sP=0.288N_0$ (37)

$\therefore 0.286N_0 < SP < 0.288N_0$ (38)

また B) におけると同様に $\sum \bar{N}_i \epsilon_i^*$ を省略した場合、

$0.286N_0 < SP < 0.293N_0$ (39)

なお II. で求めた厳密解によれば $SP=0.2875N_0$ である。

D) 等分布荷重をうける 2 鉸アーチ

$\psi=60^\circ$, $h/L=0.1$ の場合について算例を示す。垂直反力を $m_s wL$, 水平反力を H , 鉸およびアーチ中央点

をそれぞれAおよびbとする(図-18参照)。いま $wL/H=k$ とすれば A~b 間のモーメント式

$$M = -m_s HR \{ (\cos\varphi - \cos\psi) - k(\sin^2\psi - \sin^2\varphi) / 2\sin\psi \} \dots\dots\dots(40)$$

において M が最大なる点を求めると, $dM/d\varphi = 0$

より

$$k = \sin\psi / \sin\varphi \dots\dots\dots(41)$$

の関係を得る。次に $M_b = |M_a|$ の条件より

$$k = 2\sin\psi (1 + \cos\varphi - 2\cos\psi) / (2\sin^2\psi - \sin^2\varphi) \dots\dots\dots(42)$$

したがって (41) および (42) 式を等しいとおくと,

$$\cos\varphi = -(1 - 2\cos\psi) \pm \sqrt{2} (1 - \cos\psi) \dots\dots\dots(43)$$

(41) および (43) 式において $\sin 60^\circ = 0.8660$ として

$$\cos\varphi = 0.7071, k = 1.2247 \dots\dots\dots(44)$$

を得る。したがって a および b 点の M, N は

a 点 $M = 0.3502hH, N = 1.4142H, \therefore M/N = 0.2476h \dots\dots\dots(45)$

b 点 $M = 0.3502hH, N = H, \therefore M/N = 0.3502h \dots\dots\dots(46)$

図-2 を利用し, a および b 点が降伏するときの M, N および n は

a 点 $M_a = 0.1532N_0h, N_a = 0.621N_0, n_a = 0.3105h \dots\dots\dots(47)$

b 点 $M_b = 0.1822N_0h, N_b = 0.521N_0, n_b = 0.2605h \dots\dots\dots(48)$

ゆえにまず a 点が降伏し

$$m_s H = 0.4391 N_0 \dots\dots\dots(49)$$

$$\therefore m_s w L = 0.5378 N_0 \dots\dots\dots(50)$$

m_k を求めるにあたって, まず水平方向の変形条件として

$$\dot{\rho}_2 = \frac{R(1 - \cos\varphi) - n_b - n_a \cos\varphi}{R(\cos\varphi - \cos\psi) + n_a \cos\varphi} \dot{\rho}_1 \dots\dots\dots(51)$$

また yield hinge の仕事式 (9) および外力仕事式 $m_k w l_j (\dot{\Delta}_j + l_j \dot{\rho}_j / 2)$ —— ただし l_j は yield hinge 間の剛域の水平長さ, $\dot{\Delta}_j$ は j 剛域の一樣な垂直変位速度 (図-18 参照) —— を用いて次式が成立つ。

$$m_k = \frac{\sum (0.5hN_0 - M_j) \dot{\theta}_j}{\sum w l_j (\dot{\Delta}_j + l_j \dot{\rho}_j / 2)} \dots\dots\dots(52)$$

(51) および (52) 式に (47), (48) および (44) 式を代入して算定すると次式を得る。

$$\dot{\rho}_2 = 1.1114 \dot{\rho}_1 \dots\dots\dots(53)$$

$$m_k w L = 0.5646 N_0 \dots\dots\dots(54)$$

$$\therefore 0.5378 N_0 < s w L < 0.5646 N_0 \dots\dots\dots(55)$$

$s w L$ として上下限の平均値 $0.5512 N_0$ を採用すれば, error は $\pm 2.43\%$ 以内におさまる。なお (51) 式に

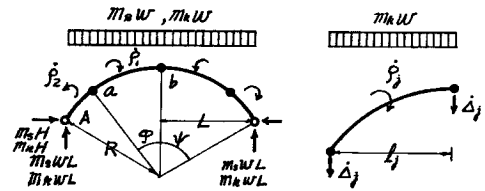


Fig. 18

おける n および m_k 式の $\sum \bar{N}_i \dot{\epsilon}_i^*$ を無視した場合には,

$$0.5378 N_0 < swL < 0.5663 N_0 \dots\dots\dots(56)$$

となり、(55) 式とほとんど変わらない。

なお $m_s wL$ の計算において a 点が降伏する場合の反力の値を採用したが、軸方向力の影響のため a 点降伏時には、a 点より多少 A 寄りのところで (1) 式を超過しているはずである。しかしながらこの超過量はごく微小であり、本例の場合 $f(M, N)_{\max} = 1.005$ 程度にすぎない。したがって通常無視して差支えないものと考えてよからう。

E) 等分布荷重をうける固定アーチ

$\psi = 60^\circ, h/L = 0.1$ の場合について簡単に記す。固定端反力を M_A とし、D) と同様にして A~b 間において M が最大なる点を求め、 $M_A = M_b = |M_a|$ とおくと次式を得る。

$$\cos\phi = (1 + \cos\psi) / 2 \dots\dots\dots(57)$$

$$h = wL / H = \sin\psi / \cos\phi \dots\dots\dots(58)$$

および

$$\left. \begin{aligned} 2M_A / HL &= h a' - k l a' (1 - l a' / 2) \\ h a' &= R(\cos\phi - \cos\psi) / 2, l a' = R(\sin\psi - \sin\phi) / L \end{aligned} \right\} \dots\dots\dots(59)$$

(57)~(59) 式によつて hinge a の位置および反力を求め、D) と同様にして A, a および b 点の M, N および M/N から、各点が降伏する時の M および N を求める。その結果、まず降伏するのは A 点であり、statically admissible な値として次の値を得る。

$$m_s H = 0.4860 N_0, m_s wL = 0.5612 N_0 \dots\dots\dots(60)$$

一方部材回転角間の関係

$$\dot{\rho}_2 = \frac{R(1 - \cos\phi) - n_b - n_a \cos\phi}{R(\cos\phi - \cos\psi) + n_a \cos\phi + n_b \cos\psi} \dot{\rho}_1 \dots\dots\dots(61)$$

および m_k 式 (52) を算定して $m_k wL = 0.6259 N_0$ を得る。

$$\therefore 0.5612 N_0 < swL < 0.6259 N_0 \dots\dots\dots(62)$$

swL として上下限の平均値 $0.5936 N_0$ をとれば、error は $\pm 5.4\%$ 以内におさまる。D) と同様に軸力の影響を省略した場合には次のごとくなる。

$$0.5612 N_0 < swL < 0.6262 N_0 \dots\dots\dots(63)$$

以上、アーチの終局荷重の実用計算法について述べた。終局荷重の誤差域は E) の場合最大で $\pm 5.4\%$ を示したが、実用上は許容される程度であると思われる。limit design の長所として誤差の上下限が明示されるということは、現実の設計上の観点からも意義のあることと思う。

結 論

本研究の結果として、集中荷重をうけるアーチの終局時における荷重、yield hinge, collapse mode および反力などに関して種々の傾向を示すことができた。とくに rise の変化との関連に注意し、従来の弾性計算におけるアーチと直線梁との間における水平反力との不連続という矛盾についても、その連続性を証明し得た。また II. 2. において示したアーチの特性の ψ による分類は当を得たものとする。III. においては II. の結果に基づき実用上の便に資するため、終局荷重の実用計算法を示したが、大体許容しうる誤差域に収まつたと考える。他の limit analysis の研究によるごとき数回の計算で次第に誤差域をせばめてゆくとい

う方法が、アーチの場合非常に面倒であり、その点一回の操作で許容しうる誤差域を得るという方法をとらざるを得なかつた。なお等分布荷重をうける場合の終局状態については、目下研究を継続中であり、機会を改めて報告することにする。

終りに文献³⁾からは大いに指嗟される点のあつたことを附記して謝意を表する次第である。

参 考 文 献

- 1) H. J. Greenberg, W. Prager : Limit Design of Beams and Frames, Proc. A.S.C.E., Vol. 77, Feb. 1951.
- 2) Drucker, Greenberg, Prager : The Safety Factor of an Elastic-Plastic Body in Plane Strain, Jour. of App. Mech., Dec. 1951.
- 3) E. T. Onat, W. Prager : Limit Analysis of Arches, Jour. of Mech. and Physics of Solids, Vol. 1, No. 2, Jan. 1953.
- 4) A. Kooharian : Limit Analysis of Voussoir (Segmental) and Cement Arches, Jour. of A.C.I., Dec. 1952.
- 5) 横尾・山肩 : Arch の Limit Analysis (第1報), 日本建築学会論文報告集 57号 昭32. 7.
- 6) 横尾・山肩 : Arch の Limit Analysis (第2報), 日本建築学会近畿支部研究報告, 昭32. 10.
- 7) 横尾・山肩 : Arch の Limit Analysis (第3報), 日本建築学会近畿支部研究報告, 昭32. 10.
- 8) R. Hill : A Variational Principle of Maximum Plastic Work in Classical Plasticity, Quar. Jour of Mech. and App. Math., Vol. 1, 1948.
- 9) R. Hill : A Comparative Study of Some Variational Principles in the Theory of Plasticity, Jour. of App. Mech., Mar. 1950.
- 10) W. Prager, P. G. Hodge : Theory of Perfectly Plastic Solids, John Willey & Sons, Inc., 1951.
- 11) J. Heyman : The Limit Design of Space Frame, Jour. of App. Mech., Vol. 18, No. 2, June 1951.
- 12) J. Heyman : The Limit Design of a Transversely Loaded Square Grid, Jour. of App. Mech., June 1952.
- 13) 小野・田中 : 軸方向力を考慮したラーメンのリミット・デザイン, 日本建築学会論文集 20号, 昭30. 3.
- 14) Drucker, Prager, Greenberg : Extended Limit Design Theorems for Continuous Media, Quar. of App. Mech., Vol. 9, 1952.
- 15) P. S. Symonds, B. G. Neal : Recent Progress in the Plastic Methods of Structural Analysis, Jour. of Franklin Inst., Nov. and Dec. 1951.